

19-2002-257

На правах рукописи

КУЦАЛО  
Полина Вячеславовна

ЭКСПЕРИМЕНТАЛЬНОЕ ОБОСНОВАНИЕ  
МИШЕННОЙ ТЕРАПИИ  
И ДИАГНОСТИКИ ПИГМЕНТНОЙ МЕЛАНОМЫ  
С ИСПОЛЬЗОВАНИЕМ  
 $\alpha$ - И  $\beta$ -ИЗЛУЧАЮЩИХ РАДИОНУКЛИДОВ

Специальность: 03.00.01 — радиобиология

Автореферат диссертации на соискание ученой степени  
кандидата биологических наук

Москва 2002

Работа выполнена в Отделении радиационных и радиобиологических исследований Объединенного института ядерных исследований, г.Дубна  
Научные руководители:

доктор биологических наук, профессор *Е.А. Красавин*

кандидат биологических наук *Н.Л. Шмакова*

Официальные оппоненты:

доктор биологических наук, профессор *И.И. Пелевина*

доктор биологических наук, профессор *А.Г. Коноплянников*

Ведущая организация: Онкологический научный центр РФ

Защита состоится 19 декабря 2002 года в 15 ч 30 мин на заседании Диссертационного совета Д.501.001.65 в Московском государственном университете им. М.В. Ломоносова по адресу: 119899, Москва, Воробьевы горы, МГУ, биологический факультет, Диссертационный совет Д.501.001.65.

С диссертацией можно ознакомиться в библиотеке Биологического факультета МГУ. Отзывы просим присыпать по адресу: 119899, Москва, Воробьевы горы, МГУ, биологический факультет, Диссертационный совет Д.501.001.65

Автореферат разослан « « ноября 2002 г.

Ученый секретарь диссертационного совета

доктор биологических наук, профессор

*О.Р. Кольс*

## **ОБЩАЯ ХАРАКТЕРИСТИКА РАБОТЫ**

**Актуальность работы.** Одним из основных методов лечения злокачественных новообразований является лучевая терапия, основанная на дистанционном или контактном облучении опухолей с помощью внешних источников излучения. Но несмотря на высокую эффективность, этот метод имеет ряд недостатков: неблагоприятное для клинического использования дозовое распределение большинства видов излучения; необходимость знания точной геометрии опухоли, что не всегда возможно, особенно при развитии метастатического процесса; присутствие нормальных клеточных элементов в опухолевой паренхиме, которые неизбежно подвергаются облучению при общем воздействии на опухоль. Таким образом, лучевая терапия, как правило, не обеспечивает достаточной избирательности в поражении раковых клеток, и оказывает цитотоксическое действие не только на опухолевые, но и на окружающие нормальные ткани. Альтернативой лучевой терапии является, так называемая, мишенная радионуклидная терапия (РНТ), основанная на избирательном воздействии на опухолевые клетки путем введения в организм меченых радионуклидами соединений и их доставке непосредственно к злокачественным клеткам. На этом же принципе основаны методы радионуклидной диагностики (РНД).

В настоящее время в РНТ и РНД используются в основном  $\beta$ -излучатели. В последние годы проявляется значительный интерес к применению также  $\alpha$ -излучающих радионуклидов. Преимуществами  $\alpha$ -излучателей являются короткий пробег  $\alpha$ -частиц (60-65 мкм в ткани), что позволяет воздействовать непосредственно на мишени клетки, и высокая линейная передача энергии (около 100 кэВ/мкм), которая соответствует максимальной биологической эффективности излучения (Красавин Е.А. и Козубек С., 1991). Эти свойства делают  $\alpha$ -излучение оптимальным для РНТ асцитных и диссеминированных новообразований. В наших экспериментах использован малоисследованный на сегодняшний день изотоп, чистый  $\alpha$ -излучатель  $^{211}\text{At}$ .

Пигментная меланома является одним из наиболее сложных для терапии новообразований, что связано с ранним метастазированием и быстрой генерализацией опухолевого процесса. Образующиеся уже на ранних стадиях микрометастазы оказываются практически недоступными известным на

сегодняшний день методам диагностики и терапии. Учитывая резкий рост числа заболеваний меланомой в последние годы и отсутствие эффективных способов терапии и диагностики пигментной меланомы, представляется актуальным поиск и разработка новых методов диагностики и лечения этого типа опухолей. РНТ и РНД представляются весьма перспективными для этой цели. Целенаправленная доставка радионуклидов к клеткам меланомы может осуществляться с помощью опухолеспецифичного носителя 3,7-диметиламино-феназотионин хлорида (метиленовый синий, МС), который характеризуется высокой связывающей способностью с пигментом меланином (Potts A.M., 1962). Использование  $\alpha$ -излучателя  $^{211}\text{At}$  позволит осуществить мишленное воздействие на микрометастазы и диссеминированные клетки меланомы.

**Цель и основные задачи исследования.** Цель исследований заключалась в экспериментальном обосновании радионуклидной диагностики и мишленной радиотерапии пигментной меланомы человека с использованием МС, меченного изотопами  $^{211}\text{At}$  и  $^{131}\text{I}$ .

Для достижения указанной цели были поставлены следующие задачи:

- исследовать характер накопления  $^{211}\text{At}$ -МС и  $^{211}\text{At}$  в ионной форме клетками пигментной меланомы человека и непигментированными клетками *in vitro*;
- получить количественную оценку степени селективности цитотоксического действия *in vitro*  $^{211}\text{At}$ -МС на клетки пигментной меланомы человека по сравнению с непигментированными клетками;
- исследовать характер накопления  $^{131}\text{I}$ -МС и  $\text{Na}^{131}\text{I}$  клетками пигментной меланомы человека и непигментированными клетками *in vitro*;
- исследовать биораспределение  $^{211}\text{At}$ -МС и  $^{131}\text{I}$ -МС в организме мышей с имплантированной пигментной меланомой.

**Положения, выносимые на защиту:**

- результаты исследования кинетики накопления  $^{211}\text{At}$ -МС и  $^{211}\text{At}$  в ионной форме клетками пигментной меланомы человека и непигментированными клетками *in vitro*;
- результаты исследования кинетики накопления  $^{131}\text{I}$  и  $\text{NaI}$  клетками пигментной меланомы человека и непигментированными клетками *in vitro*;
- результаты количественной оценки избирательности цитотоксического действия

- $^{211}\text{At}$ -МС на клетки пигментной меланомы человека по сравнению с непигментированными клетками, а также с  $^{211}\text{At}$  в ионной форме *in vitro*;
- результаты исследования фармакокинетики  $^{131}\text{I}$ -МС на интактных животных и животных с трансплантированной пигментной меланомой;
  - результаты исследования фармакокинетики  $^{211}\text{At}$ -МС на интактных животных и животных с трансплантированной пигментной меланомой.

**Научная новизна.** В работе впервые:

- исследована возможность применения  $\alpha$ -излучателя  $^{211}\text{At}$  в мишенной радиотерапии пигментной меланомы;
- исследован характер накопления МС, меченного изотопами  $^{211}\text{At}$  и  $^{131}\text{I}$ , а также  $^{211}\text{At}$  в ионной форме в клетках млекопитающих *in vitro*; показано, что  $^{211}\text{At}$ -МС и  $^{131}\text{I}$ -МС селективно накапливаются в клетках пигментной меланомы *in vitro* при незначительном накоплении в непигментированных клетках;
- получена точная количественная оценка степени селективности действия  $^{211}\text{At}$ -МС и  $^{211}\text{At}$  в ионной форме на клетки пигментной меланомы человека *in vitro*;
- по критерию выживаемости *in vitro* показано, что эффективность действия  $^{211}\text{At}$ -МС на клетки пигментной меланомы на порядок выше по сравнению с действием на непигментированные клетки;
- исследована фармакокинетика  $^{211}\text{At}$ -МС и  $^{131}\text{I}$ -МС *in vivo* на животных с имплантированной меланомой и интактных животных;
- показано значительное накопление  $^{211}\text{At}$ -МС и  $^{131}\text{I}$ -МС в пигментной меланоме *in vivo*, что свидетельствует о принципиальной возможности их использования в диагностике и терапии этого новообразования.

**Научно-практическая значимость работы.** Результаты проведенных исследований по действию  $^{211}\text{At}$ -МС и  $^{131}\text{I}$ -МС на клетки пигментной меланомы имеют высокое практическое значение. Полученные экспериментальные данные свидетельствуют об избирательности накопления радиоактивных препаратов на основе МС клетками пигментной меланомы человека *in vitro* и *in vivo*, а также высокой цитотоксичности  $^{211}\text{At}$ -МС. Это дает основание полагать, что в перспективе  $^{211}\text{At}$ -МС может быть рекомендован в качестве радиофармпрепарата для комплексной терапии пигментной меланомы человека с целью воздействия на диссеминированные опухолевые клетки и предотвращения процесса

метастазирования. МС, меченный изотопами йода, представляется эффективным препаратом для диагностики метастазов и терапии первичных очагов пигментной меланомы и ее метастазов.

**Апробация работы.** Основные результаты доложены на Межд. совещ. «Базовые установки ОИЯИ и ядерная биомедицина» (Дубна, 1997); 27th Annual Meeting of the British Nuclear Medicine Society (Brighton, England, 1999); 4 и 6 научных конф. Объединения молодых ученых и специалистов ОИЯИ (Дубна, 2000, 2002); Межд. конф. «Современные проблемы радиобиологии, радиоэкологии и эволюции» (Дубна, 2000); Межд. конф. «Современные проблемы ядерной медицины и радиофармацевтики» и 2-ой съезд Общества ядерной медицины (Обнинск, 2000); Совещ. «Ядерная медицина в XXI веке: радионуклидные методы диагностики и лечения в клинической онкологии» (Дубна, 2001); V Workshop «Application of Lasers in Atomic Nuclei Research» (Poznan, Poland, 2001); Межд. симп. под эгидой ЮНЕСКО и 2-х Сисакяновских чтениях (Дубна, 2001); Russian-American Scientific Conf. «Radioimmunoimaging and Radioimmunotherapy» (Москва, 2002); семинарах Отделения радиационных и радиобиологических исследований ОИЯИ (Дубна).

**Публикации.** По теме диссертации опубликовано 12 работ.

**Структура работы.** Диссертационная работа изложена на страницах, состоит из 5 глав и выводов, содержит 8 таблиц, 7 рисунков. Список литературы включает 133 названий на русском и иностранных языках.

## **МАТЕРИАЛЫ И МЕТОДЫ ИССЛЕДОВАНИЯ**

В экспериментах *in vitro* использовали клетки пигментной меланомы человека линии BRO и непигментированные фибробласты китайского хомячка линии V-79. Клетки культивировали при 37 °C в атмосфере 5 %-го CO<sub>2</sub> на средах следующего состава: RPMI1640 и Игла в соотношении 3:1 (клетки меланомы), среда Игла (фибробласты китайского хомячка); в обоих случаях добавляли фетальную сыворотку теленка (10 %), L-глютамин (1 %) и антибиотики.

Эксперименты *in vivo* проводили на мышах самках F1(CBA×C57Bl) весом 16-18 г и белых беспородных крысах. Пигментную меланому линии B16, взятую у мыши на 9-11 день после трансплантации, прививали подкожно в боковую поверхность тела.

Щитовидную железу блокировали раствором КІ в течение 4-х дней до введения и всего времени после введения  $^{131}\text{I}$ -МС.

Изотоп  $^{211}\text{At}$  получен на ускорителе У-200 Лаборатории ядерных реакций ОИЯИ в ходе реакции  $^{207}\text{Bi} (\alpha, 2n) ^{211}\text{At}$ . Методика получения  $^{211}\text{At}$  описана Norshev Yu.V. and Shmakova N.L. (1995). Астатирование и йодирование МС осуществлялось методом электрофильного замещения (Шмакова Н.Л. *et al.*, 2001).

Для исследования накопления  $^{211}\text{At}$ -МС и  $^{211}\text{At}$  в ионной форме вводили в чашки, содержащие монослой клеток, через двое суток после посева. Клетки инкубировали с радионуклидом 1 - 5 ч, многократно промывали, снимали трипсином и отмывали трехкратным центрифугированием. Часть суспензии использовали для подсчета концентрации клеток, часть - для определения аккумулированной клетками активности. Для измерения активности использовали спектрометр ядерного излучения NK-225/A (Венгрия). Накопленную клетками активность нормировали на  $10^5$  клеток. При определении кинетики накопления  $^{131}\text{I}$ -МС и  $\text{Na}^{131}\text{I}$  клетками пигментной меланомы и китайского хомячка *in vitro* измерение активности осуществлялось непосредственно во флаконах при помощи автоматического спектрометра NK-350 («Gamma», Венгрия).

Эффективность воздействия  $^{211}\text{At}$ -МС и  $^{211}\text{At}$  в ионной форме *in vitro* оценивали по величине клоногенной способности (Puck T.T. *et al.*, 1956). Клетки, находящиеся в логарифмической стадии роста, подвергали ферментативной обработке, готовили суспензию одиночных клеток и рассевали на чашки Карреля для прикрепления.  $^{211}\text{At}$ -МС и  $^{211}\text{At}$  в ионной форме вводили в культуральную среду; клетки инкубировали в стандартных условиях в течение трех часов, многократно отмывали и оставляли в свежей питательной среде для формирования колоний. Образовавшиеся колонии фиксировали, окрашивали и подсчитывали колонии, содержащие более 50 клеток. Определяли фракцию выживших клеток.

Для изучения фармакокинетики  $^{131}\text{I}$ -МС и  $^{211}\text{At}$ -МС вводили в хвостовую вену интактным животным и мышам с привитой меланомой на 10-12-й день после трансплантации. Через разные промежутки времени животных декапитировали и измеряли активность, накопленную в основных органах и тканях. При исследовании биораспределения  $^{131}\text{I}$ -МС активности измерялась на автоматическом

спектрометре NK-350 («Gamma», Венгрия); при исследовании фармакокинетики  $^{211}\text{At-MC}$  - на пересчетной установке VA-D-30 (Германия).

## РЕЗУЛЬТАТЫ ЭКСПЕРИМЕНТОВ

**Накопление  $^{211}\text{At-MC}$  и  $^{211}\text{At}$  в ионной форме клетками пигментной меланомы человека и фибробластами китайского хомячка *in vitro* (рис. 1).** Максимальное накопление  $^{211}\text{At-MC}$  в клетках пигментной меланомы ( $165 \text{ Бк}/10^5$  клеток) достигается в первый час после введения соединения в среду, после чего дальнейшего увеличения активности не происходит. Накопление  $^{211}\text{At-MC}$  непигментированными клетками достигает максимума ( $72 \text{ Бк}/10^5$  клеток) через 2 ч после введения соединения. Аккумуляция ионного  $^{211}\text{At}$  клетками обоих типов осуществляется одинаково и весьма незначительно по сравнению с  $^{211}\text{At-MC}$ .

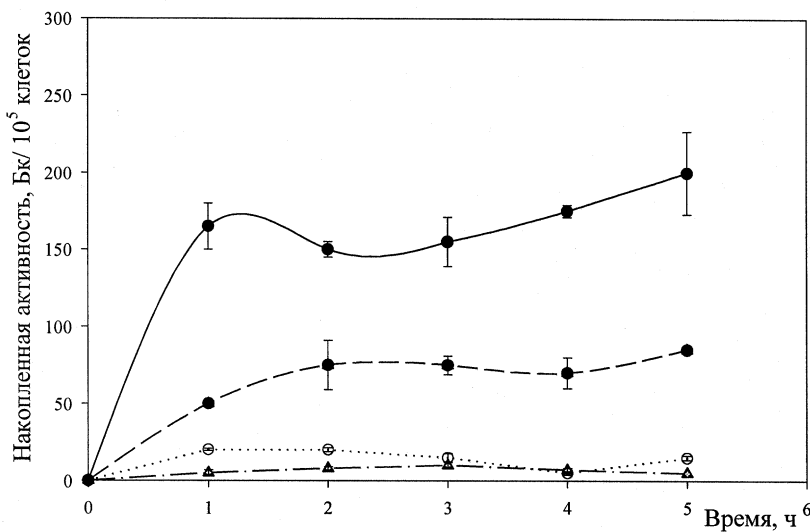


Рис. 1. Накопление  $^{211}\text{At-MC}$  и  $^{211}\text{At}$  в ионной форме клетками пигментной меланомы человека и фибробластами китайского хомячка *in vitro*.

- $^{211}\text{At-MC}$ , клетки пигментной меланомы человека
- ▲—  $^{211}\text{At-MC}$ , фибробласты китайского хомячка
- $^{211}\text{At}$ , клетки пигментной меланомы человека
- △···  $^{211}\text{At}$ , фибробласты китайского хомячка

**Накопление  $^{131}\text{I}$ -МС и  $\text{Na}^{131}\text{I}$  клетками пигментной меланомы человека и фибробластами китайского хомячка *in vitro* (рис. 2).** Максимум накопления  $^{131}\text{I}$ -МС пигментированными клетками (91,8 кБк/ чашку) достигается через 2 ч после введения, после чего зависимость накопленной активности от времени выходит на плато. В непигментированных клетках максимальное накопление активности (29,7 кБк/чашку) наблюдается через 3 ч после введения  $^{131}\text{I}$ -МС. Накопление  $\text{Na}^{131}\text{I}$  обоими типами клеток практически не отличается от фонового значения.

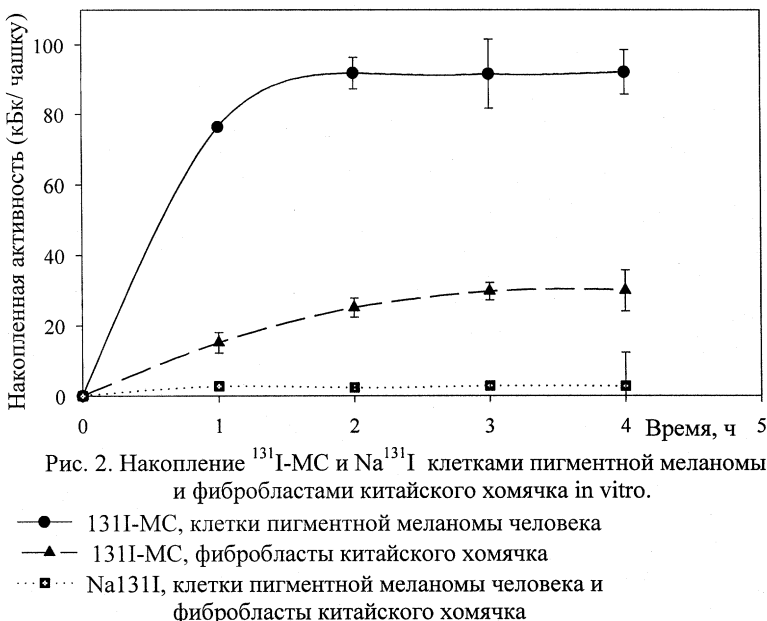


Рис. 2. Накопление  $^{131}\text{I}$ -МС и  $\text{Na}^{131}\text{I}$  клетками пигментной меланомы и фибробластами китайского хомячка *in vitro*.

- 131I-MC, клетки пигментной меланомы человека
- ▲— 131I-MC, фибробласты китайского хомячка
- Na131I, клетки пигментной меланомы человека и фибробласты китайского хомячка

**Эффективность воздействия  $^{211}\text{At}$ -МС и  $^{211}\text{At}$  в ионной форме на клетки пигментной меланомы человека *in vitro*.** Данные экспериментов по определению клоногенной способности клеток меланомы в зависимости от введенной активности представлены на рис. 3. Кривые выживаемости при облучении клеток  $\alpha$ -излучением  $^{211}\text{At}$  имеют линейный характер – плечо, характерное для действия редкоионизирующих излучений и отражающее способность клеток к reparации, отсутствует. При действии на клетки меланомы  $^{211}\text{At}$ -МС среднее значение  $D_0 = 4,8 \pm 1,6$  кБк/мл; при действии  $^{211}\text{At}$  в ионной форме  $D_0 = 110,0 \pm 27,1$  кБк/мл.

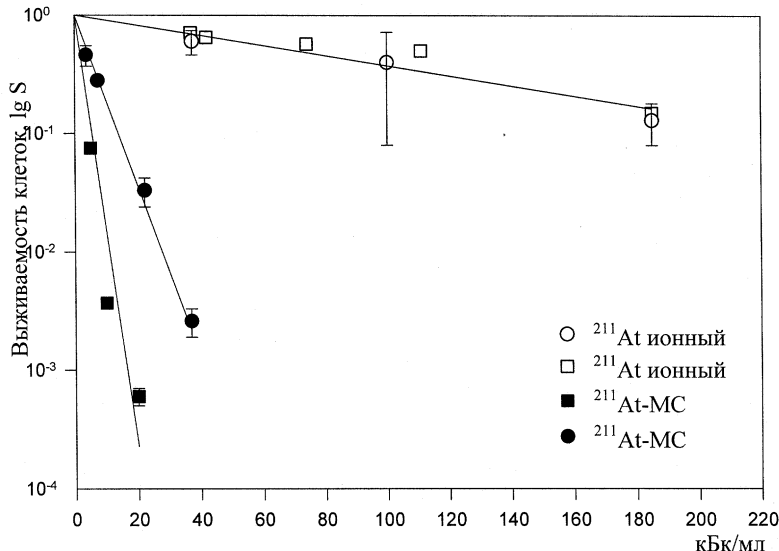


Рис. 3. Выживаемость клеток пигментной меланомы человека при действии  $^{211}\text{At}$ -MC и  $^{211}\text{At}$  в ионной форме *in vitro*

**Эффективность воздействия  $^{211}\text{At}$ -MC и  $^{211}\text{At}$  в ионной форме на фибробlastы китайского хомячка *in vitro* (рис. 4).** Средняя величина  $D_0$  при действии  $^{211}\text{At}$ -MC для фибробластов китайского хомячка составляет  $46,25 \pm 13,99$  кБк/мл; при действии  $^{211}\text{At}$  в ионной форме -  $94,25 \pm 10,88$  кБк/мл.

**Фармакокинетика  $^{131}\text{I}$ -MC.** Накопление радиоактивности в опухолях начинается через 10-30 минут после введения и достигает максимума (в среднем 4,1 %/г) через 3-5 ч после введения (табл. 1, 2, рис. 5). Незначительное снижение активности в опухоли происходит к 24 ч, снижение в два раза - к 48 ч после введения  $^{131}\text{I}$ -MC. В других органах к этому сроку наблюдается выведение активности до фонового уровня. Результаты, полученные при исследовании влияния срока хранения  $^{131}\text{I}$ -MC на его биораспределение, представлены в табл. 3.

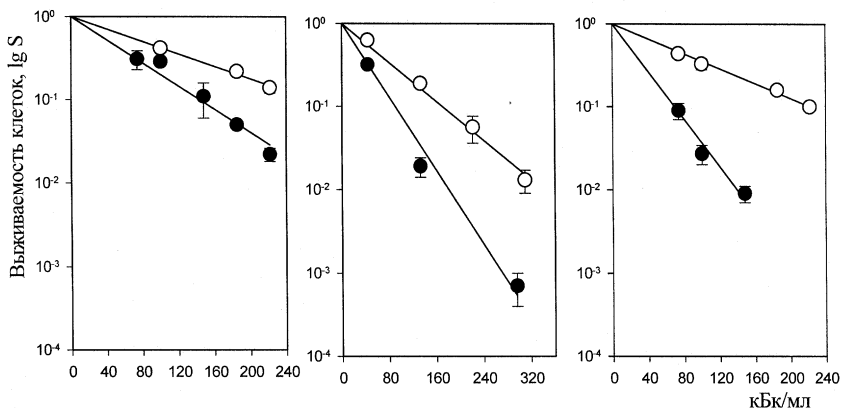


Рис.4. Выживаемость фибробластов китайского хомячка при действии  $^{211}\text{At-MC}$  и  $^{211}\text{At}$  в ионной форме *in vitro* (обозначения как на рис. 3).

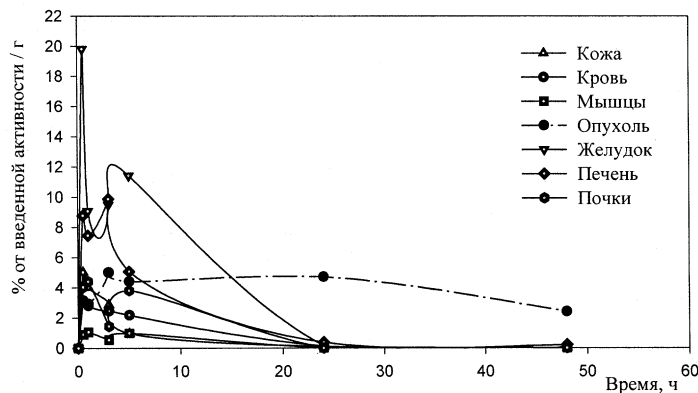


Рис. 5. Распределение активности по органам и тканям мышей с перевитой меланомой B16 после внутривенного введения  $^{131}\text{I-MC}$ .

**Фармакокинетика  $^{211}\text{At-MC}$ .** Наблюдается значительное сходство фармакокинетики вводимого соединения в органах и тканях интактных мышей (табл. 4) и мышей с перевитой пигментной меланомой (табл. 5). Накопление  $^{211}\text{At-MC}$  в опухоли достигает максимума (6,2 %/г) через 5 ч; снижение радиоактивности в меланоме в два раза наблюдается через 18 ч после введения.

Таблица 1. Распределение активности по органам и тканям интактных лабораторных животных (белые беспородные крысы) без блокады щитовидной железы при внутривенном введении  $^{131}\text{I}$ -МС (% от введенной активности).

Органы/ ткани	Время после введения				
	10 мин	30 мин	1 ч	3 ч	5 ч
Кровь	4,96 ± 0,49	4,21 ± 0,30	3,38 ± 0,30	1,75 ± 0,20	1,44 ± 0,18
Глаза	0,04 ± 0,02	0,06 ± 0,02	0,03 ± 0,01	Фон	
Щитовидная железа	0,72 ± 0,29	0,76 ± 0,21	1,25 ± 0,35	4,23 ± 1,81	5,66 ± 1,80
Печень	10,29 ± 1,69	9,76 ± 1,23	7,28 ± 1,32	3,20 ± 0,80	2,11 ± 0,61
Почки	2,82 ± 0,30	2,28 ± 0,18	0,71 ± 0,32	0,82 ± 0,08	0,61 ± 0,15
Мочевой пузырь	-	5,64 ± 0,79	8,52 ± 0,54	15,15 ± 4,23	21,31 ± 0,37
Желудок	2,43 ± 0,30	6,28 ± 1,58	4,04 ± 0,64	5,75 ± 1,85	13,34 ± 6,67
Тонкий кишечник	9,83 ± 3,36	29,70 ± 3,05	40,00 ± 1,05	45,37 ± 5,63	24,10 ± 5,30
Толстый кишечник	2,27 ± 0,25	2,05 ± 0,57	2,00 ± 0,80	28,10 ± 3,03	48,81 ± 19,42
Мышечная ткань	50,87 ± 16,79	21,60 ± 4,97	19,80 ± 2,48	0,53 ± 0,10	Следы
Кожа (%/г)	7,30 ± 0,55	11,82 ± 1,53	9,58 ± 0,42	4,22 ± 0,42	2,08 ± 0,67
Скелет (%/г)	6,03 ± 1,38	5,85 ± 0,60	4,64 ± 1,01	1,08 ± 0,22	1,00 ± 0,65
Выведение					63,50 ± 18,03

Таблица 2. Распределение активности по органам и тканям лабораторных мышей самок F1 (СВА×С57Бл) с перевитой меланомой В16 с блокадой щитовидной железы КI при внутривенном введении  $^{131}\text{I}$ -МС.

	Время после введения					
Органы/ ткани	30 мин	1 ч	3 ч	5 ч	24 ч	48 ч
Кровь (%)	2,85 ± 0,77	2,00 ± 0,51	1,96 ± 0,59	1,30 ± 0,33	0,18 ± 0,05	Фон
Цитовидная железа (%/г)	0,36 ± 0,10	0,37 ± 0,10	0,71 ± 0,21	0,85 ± 0,22	1,25 ± 0,43	0,63 ± 0,26
Печень (%)	10,26 ± 3,31	11,15 ± 3,68	9,25 ± 2,89	7,15 ± 2,00	0,50 ± 0,21	0,24 ± 0,10
(%/г)	9,32 ± 3,02	10,13 ± 3,35	8,41 ± 2,53	6,50 ± 1,73	0,45 ± 0,19	0,22 ± 0,09
Почки (%)	1,98 ± 0,56	1,11 ± 0,23	0,56 ± 0,22	0,43 ± 0,17	0,02 ± 0,00	0,03 ± 0,00
(%/г)	7,72 ± 2,19	4,33 ± 0,90	2,18 ± 0,34	1,68 ± 0,65	0,08 ± 0,00	0,12 ± 0,00
Желудок (%)	2,88 ± 1,56	3,26 ± 1,72	3,10 ± 1,63	2,70 ± 1,42	0,18 ± 0,10	0,03 ± 0,02
Тонкий кишечник (%)	29,70 ± 16,15	40,90 ± 22,47	43,00 ± 23,62	27,70 ± 15,22	0,90 ± 0,49	0,10 ± 0,05
Толстый кишечник (%)	2,02 ± 1,26	0,70 ± 0,56	7,60 ± 4,55	13,30 ± 9,31	1,20 ± 0,85	0,10 ± 0,06
Мышцы (%)	7,80 ± 2,01	5,10 ± 1,30	5,20 ± 1,34	4,20 ± 1,25	Фон	Фон
(%/г)	1,15 ± 0,30	0,78 ± 0,21	0,76 ± 0,24	0,64 ± 0,19		
Кожа (%)	11,61 ± 2,3	4,20 ± 1,11	4,80 ± 1,38	2,70 ± 0,72	0,90 ± 0,33	0,16 ± 0,06
(%/г)	5,31 ± 1,15	2,10 ± 0,55	2,42 ± 0,70	1,35 ± 0,36	0,45 ± 0,17	0,08 ± 0,03
Мочевой пузырь (%)	-	14,10 ± 5,03	13,44 ± 5,38	26,70 ± 9,53	-	-
Опухоль (%/г)	2,90 ± 1,10	2,93 ± 1,58	5,00 ± 2,70	4,40 ± 2,10	2,50 ± 1,34	1,70 ± 0,92
Выведение (%)					92,50 ± 18,93	95,40 ± 27,19

Таблица 3. Распределение активности по органам и тканям лабораторных мышей самок F1 (СВА×С57Б) с перевитой меланомой B16 без блокады щитовидной железы через 3 ч после внутривенного введения  $^{131}\text{I}$ -МС (% от введенной активности).

Органы/ткани	Срок после изготовления препарата				11 сут
	3 ч	1 сут	4 сут	6 сут	
Кровь	0,71 ± 0,21	1,41 ± 0,37	2,06 ± 0,71	2,47 ± 0,63	3,43 ± 0,92
Щитовидная железа, %/Г	0,08 ± 0,02	0,23 ± 0,06	3,60 ± 0,05	0,35 ± 0,12	0,57 ± 0,18
Печень	4,20 ± 1,07	6,77 ± 1,76	8,10 ± 2,16	11,78 ± 3,02	10,38 ± 3,85
Почки	0,33 ± 0,09	0,69 ± 0,16	0,92 ± 0,25	1,05 ± 0,28	0,66 ± 0,17
Желудок	1,40 ± 0,70	1,41 ± 0,52	4,36 ± 2,71	7,23 ± 3,10	4,58 ± 1,95
Тонкий кишечник	24,80 ± 12,50	31,10 ± 10,20	23,80 ± 13,10	42,30 ± 20,65	32,64 ± 11,10
Толстый кишечник	24,60 ± 15,20	24,20 ± 8,30	До 48,0	14,25 ± 7,83	31,73 ± 13,20
Мышцы	8,10 ± 2,25	6,60 ± 2,00	5,10 ± 1,36	4,24 ± 1,32	1,26 ± 0,28
Кожа	1,96 ± 0,58	3,50 ± 1,05	1,92 ± 0,71	5,23 ± 1,72	5,86 ± 1,54
Опухоль, %/Г	3,60 ± 1,10	4,15 ± 1,20	3,70 ± 2,00	8,69 ± 4,23	4,87 ± 1,92
Мочевой пузырь	11,50 ± 4,50	16,10 ± 5,21	9,50 ± 3,41	21,85 ± 6,66	19,21 ± 5,73
					13,41 ± 4,75

Таблица 4. Распределение активности по органам и тканям интактных мышей самок F1 (CBA×C57Bl) без блокады щитовидной железы при внутривенном введении  $^{211}\text{At-MC}$  (% от введенной активности).

Органы/ткани	Время после введения			
	3 ч	5 ч	12 ч	18 ч
Кровь	5,4 ± 2,8	6,90 ± 2,10	6,35 ± 2,62	следы
Щитов. железа	4,70 ± 1,90	7,80 ± 1,20	5,07 ± 1,72	13,10 ± 3,63
Печень	7,92 ± 1,45	7,90 ± 1,50	7,55 ± 1,51	5,40 ± 1,00
Почки	2,27 ± 0,82	2,00 ± 0,45	1,25 ± 0,34	следы
Желудок	6,08 ± 1,56	12,40 ± 5,23	9,52 ± 4,28	7,85 ± 2,05
Тонк.кишечник	7,96 ± 2,44	7,25 ± 1,45	7,20 ± 1,80	7,07 ± 1,23
Толст.кишечник	6,65 ± 1,75	6,44 ± 1,52	5,50 ± 1,75	4,92 ± 2,12
Мышцы	следы	следы	следы	следы
Кожа, %/ г	2,41 ± 2,64	3,37 ± 1,37	5,47 ± 1,80	4,58 ± 2,02
Мочевой пузырь	31,00 ± 9,00	27,83 ± 5,52	-	-

Табл. 5. Распределение активности по органам и тканям мышей самок F<sub>1</sub>(CBAхBl) с перевитой опухолью меланома B16 после введения  $^{211}\text{At-MC}$  (% от введенной активности).

Органы/ткани	Время после введения				
	1 ч	3 ч	5 ч	12 ч	18 ч
Кровь	следы	3,65 ± 0,15	следы	4,51 ± 1,45	следы
Щитовидная железа	0,90 ± 0,30	3,52 ± 1,08	3,56 ± 2,14	8,65 ± 1,65	11,35 ± 0,56
Печень	8,75 ± 1,85	6,95 ± 0,75	7,71 ± 1,39	6,64 ± 0,52	7,30 ± 0,40
Почки	1,30 ± 0,10	1,57 ± 0,73	1,40 ± 0,20	1,80 ± 0,95	2,15 ± 0,15
Желудок	8,15 ± 1,25	9,25 ± 3,95	13,24 ± 3,36	6,45 ± 1,50	9,15 ± 1,90
Тонк.кишечник	11,20 ± 3,95	8,80 ± 1,85	6,55 ± 2,65	5,92 ± 1,23	6,32 ± 0,88
Толст.кишечник	3,35 ± 0,25	6,43 ± 2,37	5,20 ± 2,00	4,44 ± 0,56	4,95 ± 1,35
Мышцы	следы	следы	следы	следы	следы
Кожа, %/ г	2,60 ± 0,32	3,53 ± 1,12	3,93 ± 0,19	7,33 ± 0,14	5,77 ± 2,15
Опухоль, %/г	1,80 ± 0,05	3,00 ± 0,90	6,20 ± 1,90	2,80 ± 0,75	3,20 ± 0,87
Скелет	следы	следы	следы	следы	следы
Глаза	-	Фон	Фон	-	-
Мочевой пузырь	13,40 ± 2,00	18,20 ± 2,00	20,10 ± 3,00	-	-

## ОБСУЖДЕНИЕ РЕЗУЛЬТАТОВ

В проведенных исследованиях получена количественная оценка степени селективности действия  $^{211}\text{At}$ -МС на клетки пигментной меланомы по сравнению с непигментированными клетками *in vitro*, а также сопоставлены закономерности биологического поведения радиоактивных соединений на основе МС *in vitro* и *in vivo*.

Исследована кинетика накопления  $^{211}\text{At}$ -МС и  $^{131}\text{I}$ -МС в клетках пигментной меланомы и непигментированных клетках *in vitro*. Результаты свидетельствуют о сходном характере накопления  $^{211}\text{At}$ -МС и  $^{131}\text{I}$ -МС клетками обоих типов *in vitro*: наблюдается увеличение уровня накопленной активности в первые два часа после введения соединений, после чего дальнейшего увеличения аккумулированной активности не происходит (рис. 1, 2). Поскольку уровень накопления  $^{211}\text{At}$ -МС и  $^{131}\text{I}$ -МС в клетках пигментной меланомы *in vitro* в 3 раза выше, чем в непигментированных клетках, а  $^{211}\text{At}$  в ионной форме и  $\text{Na}^{131}\text{I}$  аккумулируются клетками обоих типов одинаково и в незначительном количестве, можно сделать вывод о том, что высокий уровень селективности накопления  $^{211}\text{At}$ -МС и  $^{131}\text{I}$ -МС в пигментированных клетках достигается за счет молекулы-носителя МС.

Тот факт, что непигментированные клетки китайского хомячка, хотя и в значительно меньшей степени по сравнению с пигментированными клетками, включают  $^{211}\text{At}$ -МС, вероятно, объясняется тем, что МС, как соединение с небольшим молекулярным весом, легко проходит через плазматическую мембрану клеток. Таким образом, устанавливается равновесие между содержанием МС в среде и в непигментированных клетках, не включающих его в клеточные структуры или биохимические процессы. В то же время, проникая в клетки пигментной меланомы, МС образует устойчивый комплекс с меланином опухолевых клеток, нарушает равновесное состояние со средой, в результате чего наблюдается селективное накопление МС в пигментированных клетках меланомы. Предполагается, что основную роль в связывании МС с меланином играет образование заряд-переносящего комплекса (Potts A.M., 1964б; Forrest I.S. *et al.*, 1966; Foster R. *et al.*, 1996), а также сил Ван-дер-Ваальса, которые возникают при соединении ароматических колец МС с меланином (Larsson B. and Tjalve H., 1979).

Сопоставление полученных данных с работами Link E.M. and Lukewicz S. (1982), в которых показано селективное накопление клетками пигментной меланомы  $^{32}\text{S}$ -MC, а также работами Link E.M. *et al.* (1989) по аккумуляции галогенизированных соединений на основе MC позволяет сделать заключение о том, что включение различных радионуклидов в молекулу MC не влияет на способность последнего аккумулироваться в меланинсодержащих клетках. Таким образом, MC может рассматриваться в качестве носителя для доставки различных радионуклидов к пигментированным клеткам.

Наблюдаемая кинетика накопления  $^{211}\text{At}$ -MC и  $^{131}\text{I}$ -MC позволяет заключить, что для изучения цитотоксического действия *in vitro* клетки достаточно инкубировать в среде с радиоактивным соединением в течение 2-3 ч.

На клетках пигментной меланомы человека показано, что летальный эффект  $^{211}\text{At}$ -MC *in vitro* в 23 раза выше по сравнению с  $^{211}\text{At}$  в ионной форме (рис. 3), тогда как действие  $^{211}\text{At}$ -MC на непигментированные фибробласты китайского хомячка оказалось в среднем в два раза эффективнее по сравнению с ионной формой  $^{211}\text{At}$  (рис. 4). Сопоставление данных, полученных на двух типах клеток, свидетельствует о том, что  $^{211}\text{At}$ -MC *in vitro* оказывает на порядок более эффективное цитотоксическое действие на пигментированные клетки меланомы по сравнению с непигментированными клетками. Это свидетельствует о высокой степени селективности и цитотоксичности  $^{211}\text{At}$ -MC по отношению к пигментированным клеткам опухоли при незначительном повреждении непигментированных клеток. При этом целенаправленное радиационное воздействие на пигментированные клетки осуществляется за счет специфического взаимодействия MC с меланином опухолевых клеток. Таким образом, при взаимодействии  $^{211}\text{At}$ -MC с клетками пигментной меланомы благодаря избирательному накоплению MC и физическим параметрам  $\alpha$ -излучения  $^{211}\text{At}$  в полной мере реализуется принцип мишени. Необходимо подчеркнуть, что избирательная гибель пигментированных клеток опухоли происходит вследствие  $\alpha$ -излучения  $^{211}\text{At}$ , а не действия самого MC, что следует из результатов предварительных экспериментов, в ходе которых была выбрана концентрация MC, не влияющая на эффективность высеива клеток, которая и служила предельно допустимой концентрацией в проводимых исследованиях.

На основании данных о высокой степени аккумуляции МС, меченного  $^{211}\text{At}$  и  $^{131}\text{I}$  пигментированными клетками *in vitro* можно ожидать, что эти же закономерности должны проявляться *in vivo* в виде быстрого селективного накопления  $^{211}\text{At}$ -МС и  $^{131}\text{I}$ -МС в пигментированных опухолях. Для проверки этого положения была изучена фармакокинетика этих соединений у мышей с перевитой меланомой.

Полученные данные свидетельствуют о сходном поведении  $^{131}\text{I}$ -МС в организме интактных крыс и мышей с привитыми опухолями: быстрое накопление активности сразу после введения и практически полное ее выведение из большинства органов и тканей к 24 ч после введения  $^{131}\text{I}$ -МС (табл. 1, 2). Накопление  $^{131}\text{I}$ -МС в опухоли достигает 2-3 %/г к первому часу после введения, что близко к накоплению  $^{67}\text{Ga}$ , принятого в качестве стандарта, через 1-2 суток после его введения. Максимум накопления (в среднем 4,1 %/г) наблюдается через 5 ч после введения. К 24 ч после введения соотношение накопленной активности в опухоли по отношению к нормальным тканям составляет: опухоль:кровь - 36, опухоль:мышцы - 47, опухоль:кожа - 7,8. Полученные данные коррелируют с результатами Link E.M. (1999) по исследованию фармакокинетики  $^{131}\text{I}$ -МС, в которых показано соотношение опухоль:нормальные ткани, равное 9. В наших экспериментах снижение радиоактивности в опухоли в два раза происходило к 48 ч, но оставалось на достаточно высоком уровне (рис. 5). При этом из всех остальных органов и тканей наблюдалось практически полное выведение активности. Таким образом, период с 24 до 48 ч после введения  $^{131}\text{I}$ -МС можно считать наиболее благоприятным для визуализации метастазов меланомы.

Анализ накопления  $^{131}\text{I}$ -МС в глазах экспериментальных животных показал близкий к фоновому значению уровень активности в течение всего времени наблюдения. Это означает, что вводимые концентрации соединения не могут привести к его выраженному накоплению в роговице, содержащей пигментированные клетки и, таким образом, служить причиной патологических изменений самого радиочувствительного компонента глаза – хрусталика. Это заключение подтверждается исследованиями Shaffer R.N. (1952) и Link E.M. *et al.* (1989).

Характер изменения уровня активности в органах ЖКТ свидетельствует о преимущественной роли этих органов в выведении  $^{131}\text{I}$ -МС: максимальная активность после инъекции  $^{131}\text{I}$ -МС регистрировалась в желудке через 30 мин, в тонком кишечнике - через 1 ч, в толстом кишечнике - через 5 ч после введения. Значительные показатели накопленной активности в мочевом пузыре также свидетельствуют об активной роли мочевыделительной системы в выведении  $^{131}\text{I}$ -МС. Поскольку измерение активности как в органах ЖКТ, так и в мочевом пузыре производилось вместе с содержимым этих органов, предполагается значительное снижение уровня накопленной активности и, следовательно, дозы облучения этих органов при их очистке.

Исследование фармакокинетики препарата  $^{131}\text{I}$ -МС в разные сроки после его синтеза показало, что соединение не меняет своего биологического поведения в течении 11 суток после изготовления (табл. 2, 3). На основании этого можно сделать заключение о достаточной стабильности  $^{131}\text{I}$ -МС *in vivo* и его пригодности для диагностики и терапии пигментированных новообразований.

В экспериментах по исследованию фармакокинетики  $^{211}\text{At}$ -МС показано близкое к  $^{131}\text{I}$ -МС биораспределение  $^{211}\text{At}$ -МС по основным тканям и органам (табл. 5, 6), что подтверждает сходство биохимических свойств  $^{211}\text{At}$  и  $^{131}\text{I}$ , отмечаемое рядом авторов (Hamilton J.G. *et al.*, 1954; Visser G.W.M. *et al.*, 1981; Vaidyanathan G. *et al.*, 1996; Тултаев А.В. и соавт., 2001).

На протяжении всего срока наблюдения после введения  $^{211}\text{At}$ -МС увеличивается аккумуляция активности в щитовидной железе. Как известно, ионный астат обладает сходной с ближайшим гомологом йодом тропностью к этому органу (Hamilton J. G. *et al.*, 1953, 1954; Visser G.W.M. *et al.*, 1981). Повышенный уровень накопления активности при введении астатированного МС, вероятно, является одним из свидетельств деастатинации  $^{211}\text{At}$ -МС *in vivo*. Кроме того, это подчеркивает необходимость блокады щитовидной железы при проведении дальнейших работ с  $^{211}\text{At}$ -МС.

Отмечается более медленное по сравнению с  $^{131}\text{I}$ -МС выведение  $^{211}\text{At}$ -МС, а также более активное накопление  $^{211}\text{At}$ -МС в органах ЖКТ на протяжении всего срока наблюдения. Высокие показатели накопленной активности в желудке и кишечнике говорят о преимущественной роли этих органов в выведении. Однако

хорошо известно, что гастроэнтероколиты и лучевые циститы, возникающие при введении радионуклидов с целью диагностики или терапии новообразований, не являются факторами, ограничивающими применение того или иного метода РНД или РНТ (Касаткин Ю.Н. и соавт., 1999). Учитывая, что основной вклад в облучение органов ЖКТ и мочевого пузыря вносит излучение радионуклидов, находящихся в содержимом этих органов, а также принимая во внимание короткий пробег  $\alpha$ -частиц, для уменьшения дозовой нагрузки при введении радиоактивных соединений можно рекомендовать очищение желудка и мочевого пузыря. Сопоставление полученных результатов с данными Тултаева А.В. и соавт. (2001) о том, что ЖКТ является системой, в которой наблюдается наибольшая аккумуляция активности при введении хлорида  $^{211}\text{At}$ , позволяет сделать заключение о недостаточной стабильности используемого комплекса  $^{211}\text{At}-\text{MC}$  и его деастатинации *in vivo*. Visser G.W.M. *et al.* (1981) отмечают, что дегалогенизация *in vivo* является распространенным и хорошо известным фактом для органических галоген-производных. Сложный характер связывания  $^{211}\text{At}$  с другими компонентами, по-видимому, объясняется большим размером атома, и является на сегодняшний день одним из основных препятствий на пути использования асттириванных соединений в клинике (Wilbur D.S., 2001).

Накопление  $^{211}\text{At}-\text{MC}$  в опухолях достигает максимума (6,4 %/г) к 5 ч после введения и остается на достаточно высоком уровне на протяжении 12 часов. Такой характер накопления  $^{211}\text{At}-\text{MC}$  в пигментной меланоме свидетельствует о стабильности полученного комплекса *in vivo* по крайней мере в течение нескольких часов. На основании данных, полученных по летальному действию  $^{211}\text{At}-\text{MC}$  на клетки меланомы *in vitro*, а также учитывая период полураспада  $^{211}\text{At}$  (7,2 ч), можно полагать, что при использовании данного препарата в комплексной терапии пигментной меланомы этого времени должно быть достаточно для мишленного воздействия на диссеминированные опухолевые клетки в целях предотвращения процесса метастазирования.

Таким образом, в ходе проведенных экспериментов основные закономерности действия МС, меченного  $^{211}\text{At}$  и  $^{131}\text{I}$ , наблюдаемые на пигментированных и непигментированных клетках *in vitro*, подтвердились при введении этих соединений *in vivo*. *In vitro* и *in vivo* показана способность соединений на основе

MC селективно накапливаться в пигментированных клетках меланомы при минимальном накоплении в непигментированных нормальных тканях, что должно приводить к преимущественному повреждению опухолевых клеток.

## ВЫВОДЫ

1. Исследована кинетика накопления  $^{211}\text{At}$ -MC и  $^{211}\text{At}$  в ионной форме клетками пигментной меланомы человека и непигментированными фибробластами китайского хомячка *in vitro*. Максимум накопления активности пигментированными клетками достигается через 2-3 ч после введения соединений и в 3 раза превышает уровень накопления непигментированными клетками. Накопление  $^{211}\text{At}$  в ионной форме *in vitro* происходит одинаково у клеток обоих типов. Максимальные значения накопленной активности при введении  $^{211}\text{At}$  в ионной форме на порядок ниже по сравнению с  $^{211}\text{At}$ -MC.
2. Исследована кинетика накопления  $^{131}\text{I}$ -MC и  $\text{Na}^{131}\text{I}$  клетками пигментной меланомы человека и непигментированными фибробластами китайского хомячка *in vitro*. Характер накопления  $^{131}\text{I}$ -MC и  $\text{Na}^{131}\text{I}$  в клетках обоих типов *in vitro* аналогичен накоплению  $^{211}\text{At}$ -MC и  $^{211}\text{At}$  в ионной форме. Максимум накопления  $^{131}\text{I}$ -MC в клетках пигментной меланомы достигается через 2 ч после введения и в 3 раза выше накопления этого соединения в непигментированных клетках. Накопление  $\text{Na}^{131}\text{I}$  происходит в обоих типах клеток одинаково и в незначительной степени.
3. По критерию выживаемости клеток пигментной меланомы человека *in vitro* цитотоксическое действие  $^{211}\text{At}$ -MC на клетки пигментной меланомы более чем в 20 раз превышает эффективность  $^{211}\text{At}$  в ионной форме.
4. По критерию выживаемости фибробластов китайского хомячка *in vitro* эффективность действия  $^{211}\text{At}$ -MC на непигментированные клетки в среднем в 2 раза выше по сравнению с действие  $^{211}\text{At}$  в ионной форме.
5. Комплекс  $^{211}\text{At}$ -MC *in vitro* оказывает выраженное селективное действие на пигментированные опухолевые клетки по сравнению с непигментированными: эффективность цитотоксического действия  $^{211}\text{At}$ -MC на порядок превышает эффективность действия  $^{211}\text{At}$ -MC на непигментированные клетки.

6. Исследована фармакокинетика  $^{131}\text{I}$ -МС в организме мышей с трансплантированной пигментной меланомой и у интактных животных. Максимум накопления активности в опухоли достигается через 5 ч после внутривенного введения  $^{131}\text{I}$ -МС и в среднем составляет 4,1 %/ г. Уровень накопленной активности в опухоли остается практически постоянным на протяжении 24 ч, снижение радиоактивности в два раза наблюдается через 48 ч после введения. При этом  $^{131}\text{I}$ -МС практически полностью выводится из всех основных органов и тканей к концу первых суток после введения.

7. Фармакокинетика  $^{131}\text{I}$ -МС в организме мышей-опухоленосителей не меняется в течение 11 суток после его изготовления, что свидетельствует о стабильности препарата.

8. Изучена фармакокинетика  $^{211}\text{At}$ -МС в организме мышей с перевитой пигментной меланомой и интактных животных. Максимальное накопление  $^{211}\text{At}$ -МС в опухоли наблюдается через 5 ч после внутривенного введения соединения и составляет 6 %/ г. Уровень накопленной активности незначительно снижается к 12 ч после введения.

9. Биораспределение  $^{211}\text{At}$ -МС в организме животных отличается более медленным выведением соединения по сравнению с  $^{131}\text{I}$ -МС из большинства органов и тканей, более высоким уровнем активности, аккумулированной в органах ЖКТ и щитовидной железе, что, вероятно, является следствием недостаточно высокой стабильности исследуемого комплекса  $^{211}\text{At}$ -МС *in vivo*.

10. Полученные экспериментальные данные дают основание полагать, что МС, меченный изотопами йода, может быть использован в качестве эффективного препарата для диагностики и терапии пигментной меланомы и ее метастазов.  $^{211}\text{At}$  в перспективе может рассматриваться в качестве эффективного адьюванта в комплексной терапии пигментной меланомы для мишленного воздействия на диссеминированные клетки и микрометастазы этого новообразования.

## **ПУБЛИКАЦИИ ПО ТЕМЕ ДИССЕРТАЦИИ**

1. Shmakova N.L., Krasavin E.A., Norseev Yu.V., Fadeeva T.A., Kutsalo P.V.,  $^{211}\text{At}$ -labelled methylene blue for targeted therapy of disseminated melanoma: experimental approach // 27th Annual Meeting of the BNMS: Abstr., Nucl. Med. Commun., 1999, V. 20, p. 466.
2. Shmakova N.L., Govorun R.D., Krasavin E.A., Kozubek S., Kutsalo P.V., Lukashova E., Repin M.V., Abou-Zeid O.A., Fadeeva T.A., Radiobiological research with mammalian cells at JINR accelerators // Abstr. workshop on " Higher-order Structure of Cell Nuclei and Genetic Effects of Radiation", Nov 7-8, 2000, Valtice, Czech Republic, pp. 28-29.
3. Куцало П.В., Шмакова Н.Л., Фадеева Т.А., Норсеев Ю.В., Красавин Е.А., Избирательное действие  $^{211}\text{At}$  в комплексе с метиленовым синим на клетки пигментной меланомы человека *in vitro*. // Тр. 4-ой Научной конференции молодых ученых и специалистов ОИЯИ, Дубна, 2000, С. 211.
4. Shmakova N.L., Fadeeva T.A., Norseev Ju.V., Krasavin E.A., Kutsalo P.V., Selective action of  $^{211}\text{At}$ -methylene blue on human melanoma cells *in vitro* // Abstr. of Int. Conf. «Modern problems of radiobiology, radiology and evolution», 2000, Dubna, p. 152.
5. Shmakova N.L., Fadeeva T.A., Norseev Ju.V., Krasavin E.A., Kutsalo P.V., Selective Action of  $^{211}\text{At}$  in Complex with Methylene Blue on Human Melanoma Cells *in Vitro* // Abstr. of Int. Conf. on Current Status of Nuclear Medicine and Radiopharmaceutics, Obninsk, Oct 23-27, 2000, p. 308-309.
6. Шмакова Н.Л., Норсеев Ю.В., Куцало П.В., Красавин Е.А., Кодина Г.Е., Корсунский В.Н., Гольтяпин Ю.В., Сорокин В.П., Экспериментальные подходы к мишенной радиотерапии пигментной меланомы человека. // Труды Международного симпозиума под эгидой ЮНЕСКО «Проблемы биохимии, радиационной и космической биологии» и 2-х Сисакянских чтений, Т. 1, Д19-2002-95, Дубна, 2001, С. 183-187.
7. Шмакова Н.Л., Норсеев Ю.В., Куцало П.В., Фадеева Т.А., Красавин Е.А., Экспериментальные подходы к мишенной радиотерапии с использованием  $^{211}\text{At}$ . // ОИЯИ, Р19-2001-23, Дубна, 2001, 16 с.

8. Шмакова Н.Л., Норсеев Ю.В., Куцало П.В., Красавин Е.А., Фадеева Т.А., Кодина Г.Е., Корсунский В.Н., Гольтяпин Ю.В., Сорокин В.П., Возможности применения  $^{211}\text{At}$  и  $^{131}\text{I}$  в комплексе с метиленовым синим в мишенной радиотерапии пигментной меланомы. // Медицинская физика, 2001, № 11, С. 33-34.
9. Куцало П.В., Экспериментальные подходы к мишенной радиотерапии пигментной меланомы человека. // Тр. 6-ой Научной конференции молодых ученых и специалистов ОИЯИ, Дубна, 2002, С. 247-250.
10. Shmakova N.L., Norseev Ju.V., Kutsalo P.V., Fadeeva T.A., Krasavin E.A., Kodina G.E., Goltjapin Yu.V., Sorokin V.P., Slobodjnik I.I., Korsunskji V.N., Experimental Approach to the targeted therapy using  $^{211}\text{At}$  // Application of Lasers in Atomic Nuclei Research, Poznan, Poland, 2001, E15-2002-84, Dubna, 2002, pp.228-235.
11. Шмакова Н.Л., Куцало П.В., Норсеев Ю.В., Фадеева Т.А., Красавин Е.А., Кодина Г.Е., Гольтяпин Ю.В., Сорокин В.П., Слободянник И.И., Корсунский В.Н., Экспериментальные подходы к радионуклидной терапии и диагностике пигментной меланомы с использованием препаратов на основе метиленового синего. // Медицинская радиология и радиационная безопасность, 2002, 47, С. 5-13.
12. Yu.V. Goltjapin, T.A. Fadeeva, G.E. Kodina, V.N. Korsunsky, E.A. Krasavin, P.V. Kutsalo, Yu.V. Norseev, N.L. Shmakova, I.I. Slobodyanik, V.P. Sorokin, Prospects of  $\alpha$ - and  $\beta$ -emitters in complex with methylene blue application for diagnostic and therapy of human pigmented melanoma. // Abstr. of Russian-American Scientific Conf. «Radioimmunoimaging and Radioimmunotherapy», 2002, Moscow, p. 18.

---

Получено 11 ноября 2002 г.

*Макет H. A. Киселевой*

Подписано в печать 12.11.2002.

Формат 60 × 90/16. Бумага офсетная. Печать офсетная.

Усл. печ. л. 1,38. Уч.-изд. л. 1,63. Тираж 100 экз. Заказ № 53612.

Издательский отдел Объединенного института ядерных исследований  
141980, г. Дубна, Московская обл., ул. Жолио-Кюри, 6.

E-mail: [publish@pds.jinr.ru](mailto:publish@pds.jinr.ru)

[www.jinr.ru/publish/](http://www.jinr.ru/publish/)